

# Etude théorique de la translocation de biomolécules à travers un nanopore

Timothée Menais

March 4, 2015

## Translocation d'ADN à travers un nanopore

Translocation d'ADN à travers un nanopore

Intérêts technologiques et fondamentaux

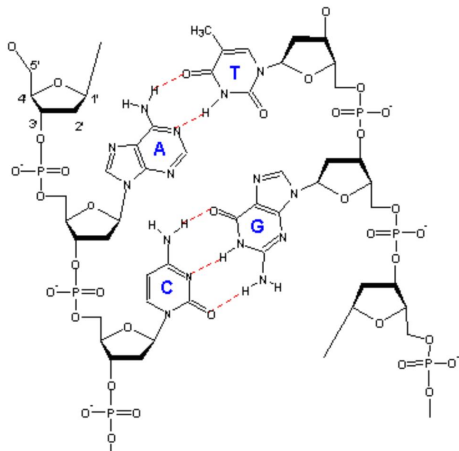
Translocation d'ADN à travers un nanopore

Intérêts technologiques et fondamentaux

Arrivée du graphène



# Nature de l'ADN



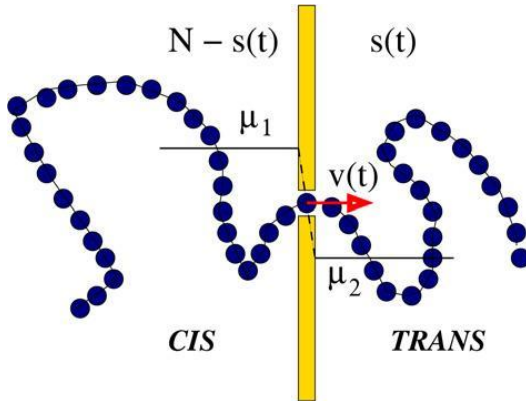
Structure

Liaisons covalentes

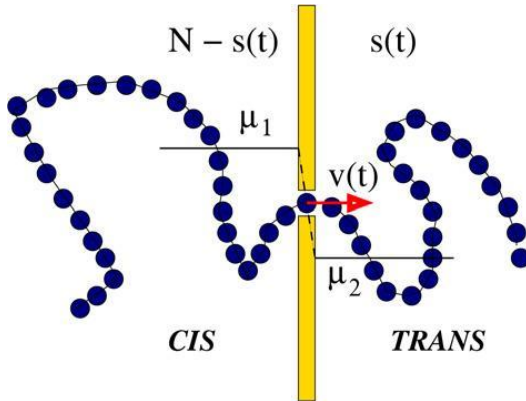
Liaisons hydrogènes

Interactions  
orbitales

# Translocation



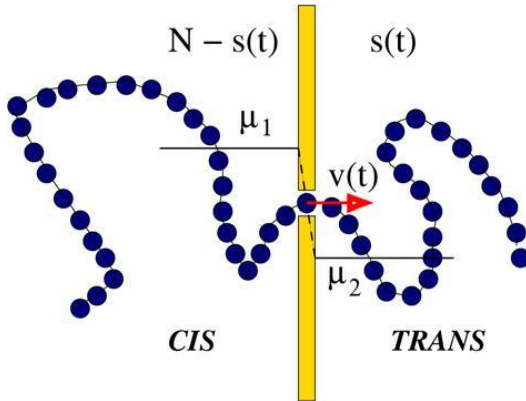
# Translocation



•  $\tau = N^\alpha f^{-\delta}$

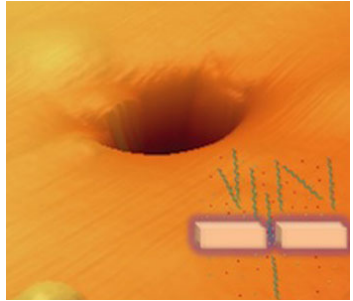
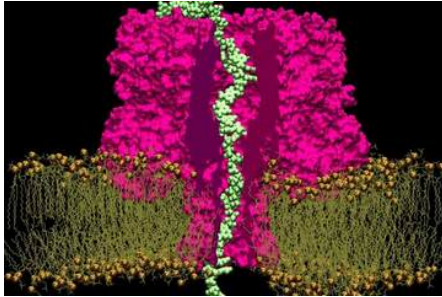


# Translocation

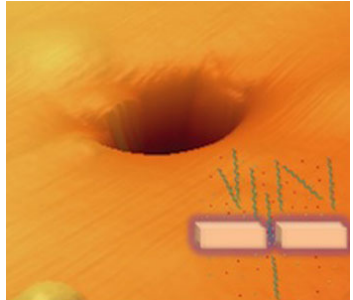
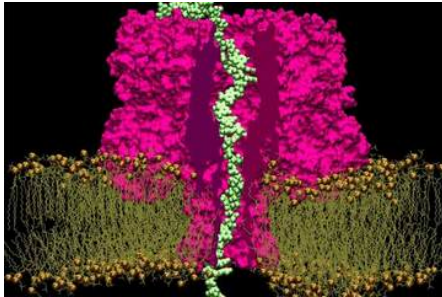


- $\tau = N^\alpha f^{-\delta}$
- exposants critiques

# Pores classiques

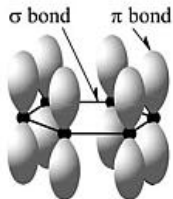
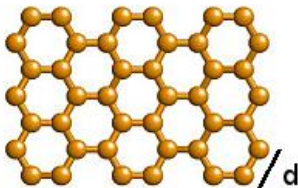


# Pores classiques

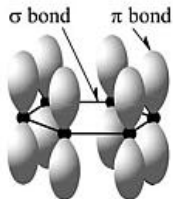
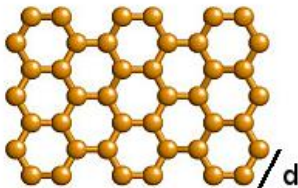


Problèmes d'épaisseur

# Nanopores dans le graphène

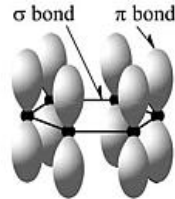
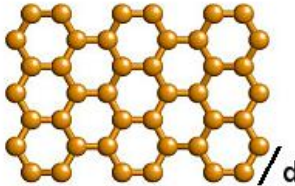


# Nanopores dans le graphène

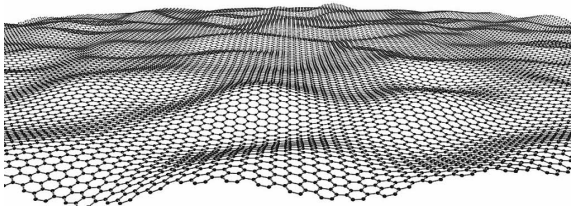


cristal bidimensionnel de carbones aromatiques

# Nanopores dans le graphène

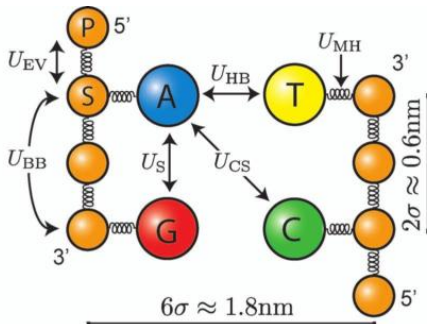


cristal bidimensionnel de carbones aromatiques



# Exemple

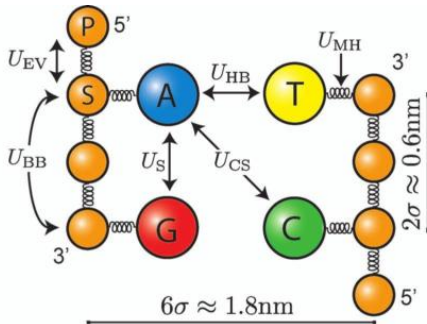
## Exemple de modèle gros grain



[référence] M. C. Linak, R. Tournier, and K. D. Dorfman. Moving beyond watson–crick models of coarse grained dna dynamics . *The Journal of Chemical Physics*, vol. 135, no. 20, p. 205102, 2011.

# Exemple

## Exemple de modèle gros grain



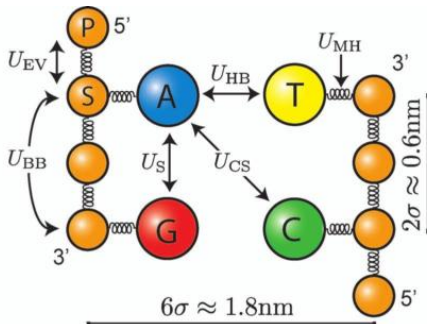
- Interactions de contact

[référence] M. C. Linak, R. Tournier, and K. D. Dorfman. Moving beyond watson–crick models of coarse grained dna dynamics . *The Journal of Chemical Physics*, vol. 135, no. 20, p. 205102, 2011.



# Exemple

## Exemple de modèle gros grain

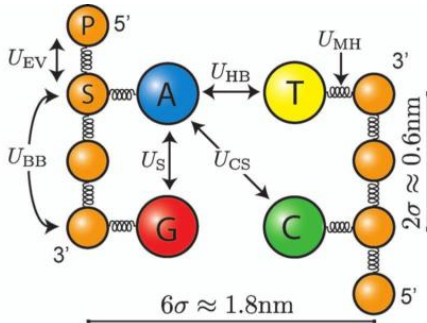


- Interactions de contact
- Liaisons covalentes

[référence] M. C. Linak, R. Tournier, and K. D. Dorfman. Moving beyond watson-crick models of coarse grained dna dynamics . *The Journal of Chemical Physics*, vol. 135, no. 20, p. 205102, 2011.

# Exemple

## Exemple de modèle gros grain

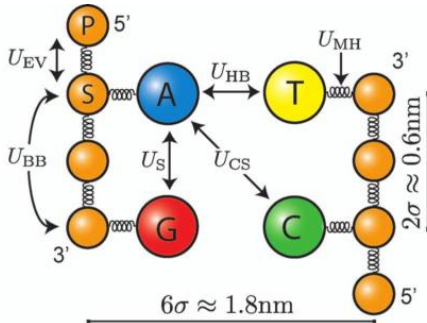


- Interactions de contact
- Liaisons covalentes
- Potentiel de torsion

[référence] M. C. Linak, R. Tournier, and K. D. Dorfman. Moving beyond watson-crick models of coarse grained dna dynamics . *The Journal of Chemical Physics*, vol. 135, no. 20, p. 205102, 2011.

# Exemple

## Exemple de modèle gros grain

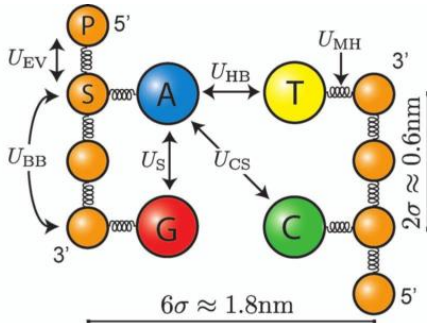


- Interactions de contact
- Liaisons covalentes
- Potentiel de torsion
- Interactions hydrogènes

[référence] M. C. Linak, R. Tournier, and K. D. Dorfman. Moving beyond watson-crick models of coarse grained dna dynamics . *The Journal of Chemical Physics*, vol. 135, no. 20, p. 205102, 2011.

# Exemple

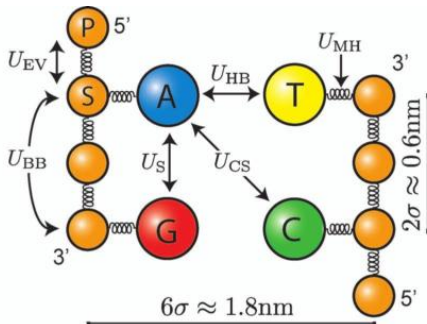
## Exemple de modèle gros grain



- Interactions de contact
- Liaisons covalentes
- Potentiel de torsion
- Interactions hydrogènes
- Interactions orbitales

[référence] M. C. Linak, R. Tournier, and K. D. Dorfman. Moving beyond watson–crick models of coarse grained dna dynamics . *The Journal of Chemical Physics*, vol. 135, no. 20, p. 205102, 2011.

## Exemple de modèle gros grain

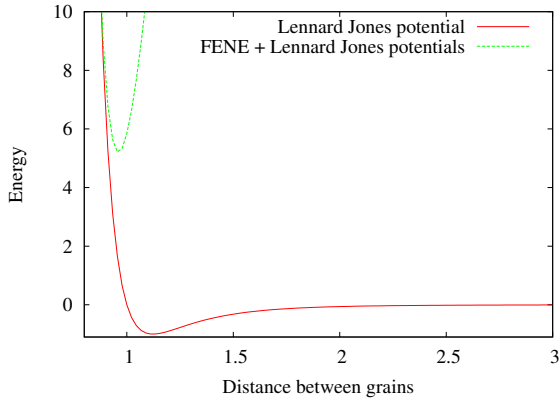


- Interactions de contact
- Liaisons covalentes
- Potentiel de torsion
- Interactions hydrogènes
- Interactions orbitales

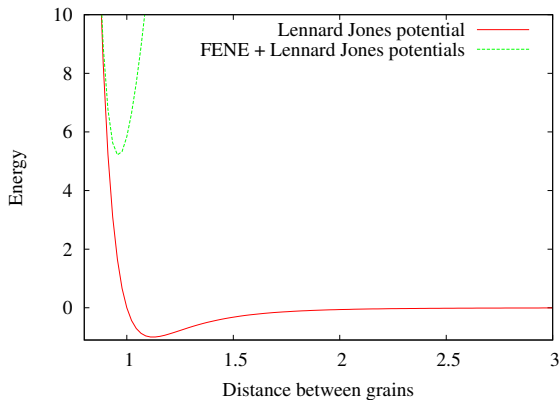
Dynamique moléculaire: 
$$\frac{d\mathbf{r}_n}{dt} = -\frac{1}{\epsilon} \frac{\partial F_{tot}}{\partial \mathbf{r}_n} + \mathbf{g}_n$$

[référence] M. C. Linak, R. Tournier, and K. D. Dorfman. Moving beyond watson-crick models of coarse grained dna dynamics . *The Journal of Chemical Physics*, vol. 135, no. 20, p. 205102, 2011.

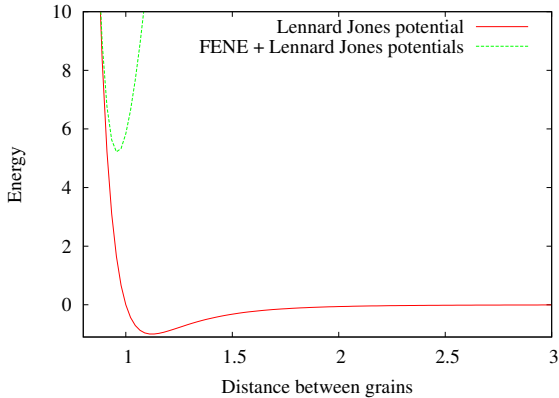
# Notre modèle



# Notre modèle



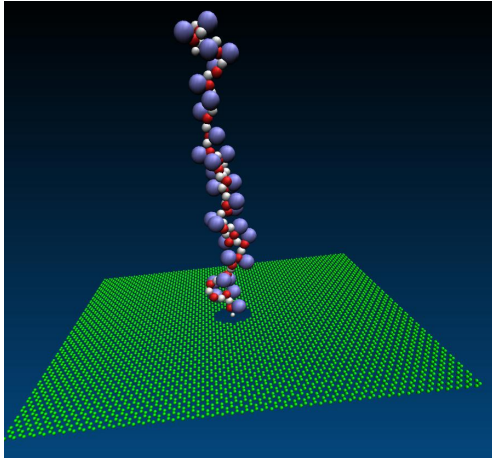
Interactions de contact, coeur dur et VdW



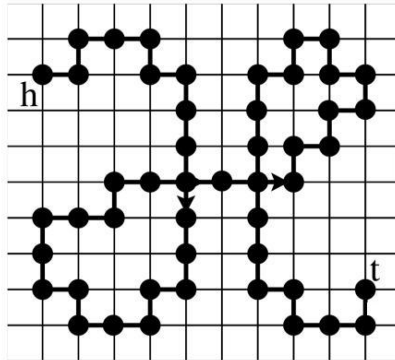
Interactions de contact, coeur dur et VdW

Liaisons covalentes, ajout de  $\ln [1 - (r/r_o)^2]$





4ème grain, carbones, interactions  $\pi/\sigma$



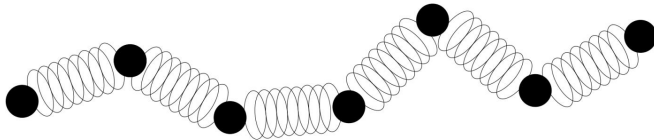
$$\langle \mathbf{r} \rangle = 0 \text{ et } \langle \mathbf{r}^2 \rangle = b^2 N$$

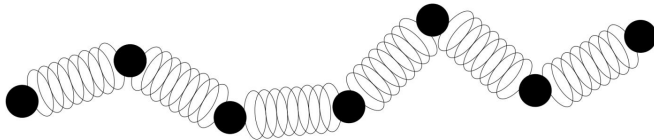
- Cas idéal
- Marche auto-évitante

- Cas idéal
- $R_0 \propto bN^{\frac{1}{2}}$
- Marche auto-évitante
- $R_0 \propto bN^\nu$  ( $\nu \approx 3/5$ , exp. de Flory)

- Cas idéal
- $R_0 \propto bN^{\frac{1}{2}}$
- $P(\mathbf{r}, N) = \left(\frac{3}{2\pi Nb^2}\right)^{\frac{3}{2}} \exp\left(-\frac{3\mathbf{r}^2}{2Nb^2}\right)$
- Marche auto-évitante
- $R_0 \propto bN^\nu$  ( $\nu \approx 3/5$ , exp. de Flory)
- $P_{SAW}(R, N) \propto \exp\left[-\frac{3\mathbf{r}^2}{2Nb^2} - \frac{\nu_c N^2}{2\mathbf{r}^3}\right]$

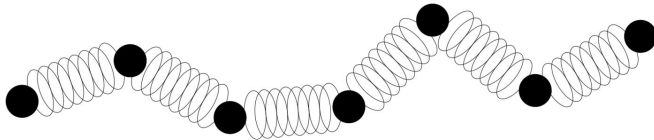
- Cas idéal
- $R_0 \propto bN^{\frac{1}{2}}$
- $P(\mathbf{r}, N) = \left(\frac{3}{2\pi Nb^2}\right)^{\frac{3}{2}} \exp\left(-\frac{3\mathbf{r}^2}{2Nb^2}\right)$
- $F(\mathbf{r}) = F(0) + \frac{3k_B T \mathbf{r}^2}{2Nb^2}$
- Marche auto-évitante
- $R_0 \propto bN^\nu$  ( $\nu \approx 3/5$ , exp. de Flory)
- $P_{SAW}(R, N) \propto \exp\left[-\frac{3\mathbf{r}^2}{2Nb^2} - \frac{\nu_c N^2}{2\mathbf{r}^3}\right]$
- $F(\mathbf{r}) = F(0) + \frac{3k_B T \mathbf{r}^2}{2Nb^2} + \frac{k_B T \nu_c N^2}{2\mathbf{r}^3}$





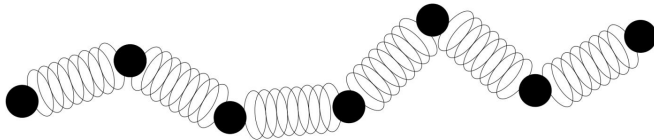
- $\langle (\mathbf{r}_{CM}(t) - \mathbf{r}_{CM}(0))^2 \rangle = \frac{6k_B T}{N\epsilon} t = 6Dt$





- $\langle (\mathbf{r}_{CM}(t) - \mathbf{r}_{CM}(0))^2 \rangle = \frac{6k_B T}{N\epsilon} t = 6Dt$

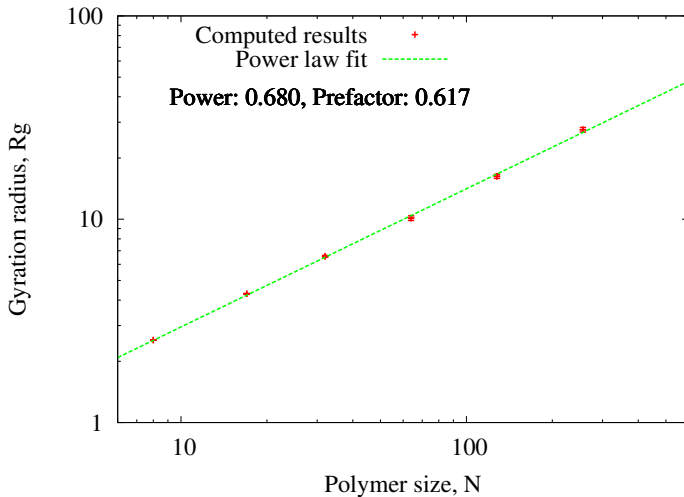
traction:  $v \propto \eta F \propto N\epsilon F$



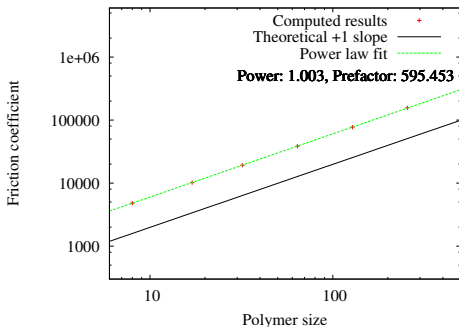
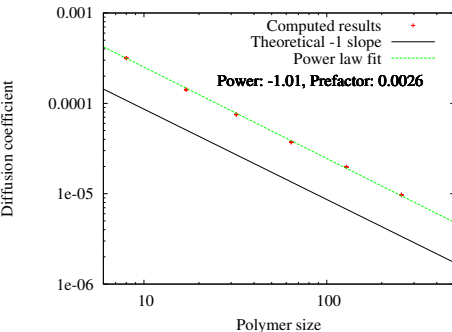
- $\langle (\mathbf{r}_{CM}(t) - \mathbf{r}_{CM}(0))^2 \rangle = \frac{6k_B T}{N\epsilon} t = 6Dt$

traction:  $v \propto \eta F \propto N\epsilon F$

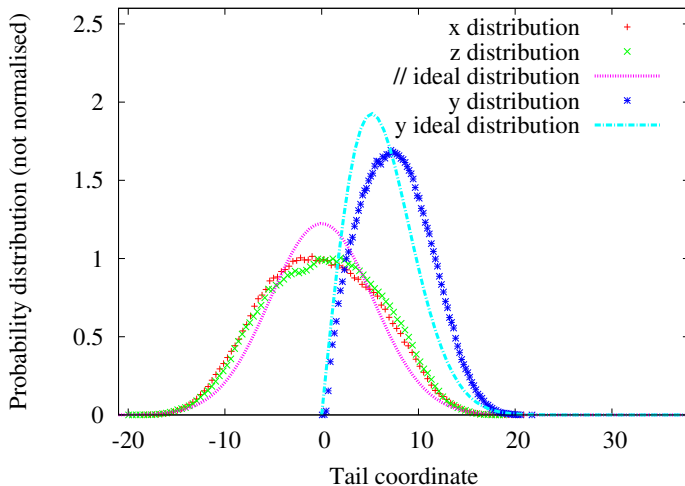
vérifications indépendantes



# Théorème de fluctuation-dissipation



Resultats conformes à la théorie, théorème de fluctuation-dissipation vérifié.



cas non biaisé:  $\tau$  est proportionnel à  $\frac{R_0^2}{D} \sim N^{1+2\nu}$

cas non biaisé:  $\tau$  est proportionnel à  $\frac{R_0^2}{D} \sim N^{1+2\nu}$

biaisé:  $\tau \propto N^{2\nu}$  à  $\tau \propto N^{1+\nu}$

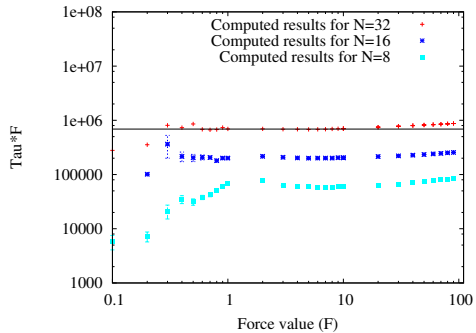
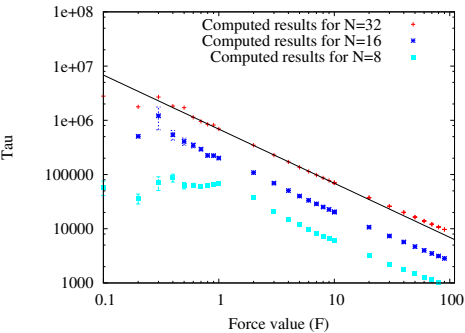
cas non biaisé:  $\tau$  est proportionnel à  $\frac{R_0^2}{D} \sim N^{1+2\nu}$

biaisé:  $\tau \propto N^{2\nu}$  à  $\tau \propto N^{1+\nu}$

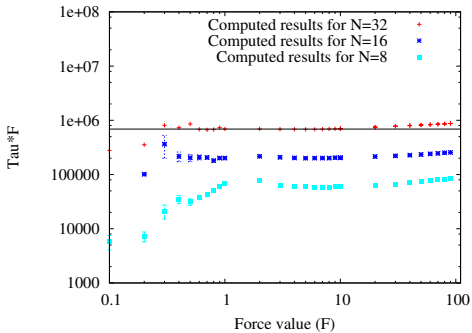
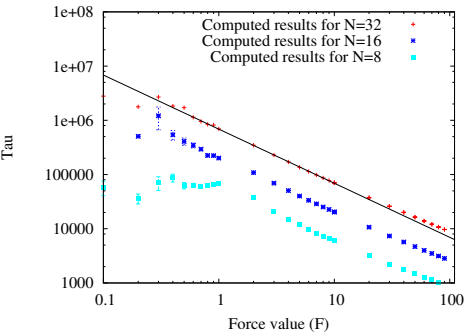
$\tau \propto F^{-1}$  à  $\tau \propto F^{(1/\nu)-2}$



# Pore large

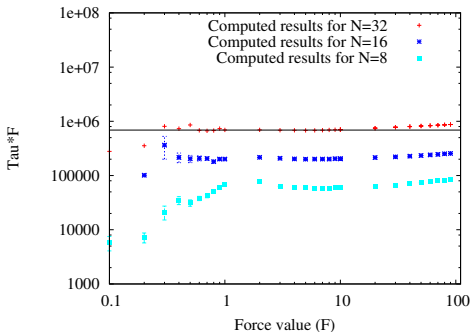
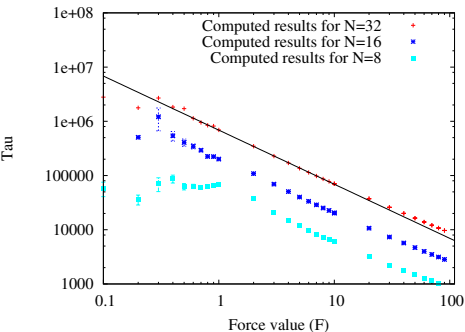


# Pore large



Deux régimes,  $\tau \propto 1/F$  et exposant critique plus élevé

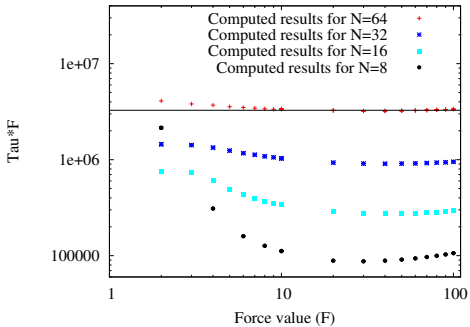
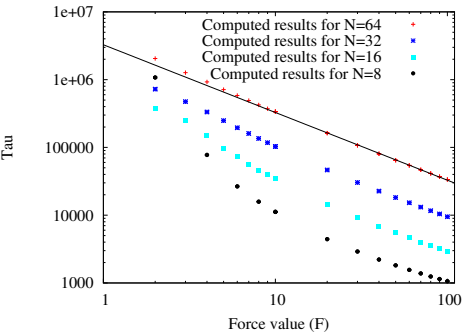
# Pore large



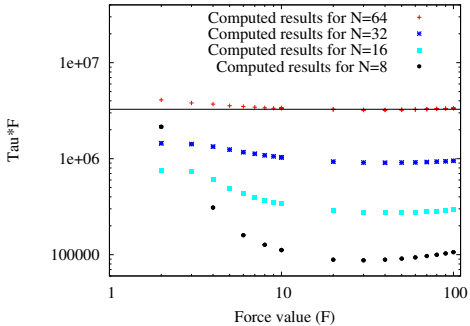
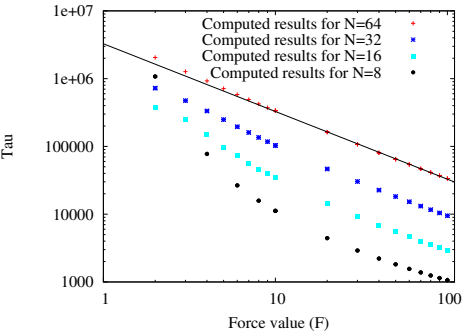
Deux régimes,  $\tau \propto 1/F$  et exposant critique plus élevé

$$\tau \propto N^{1.69} \approx N^{1+\nu}$$

# Pore étroit

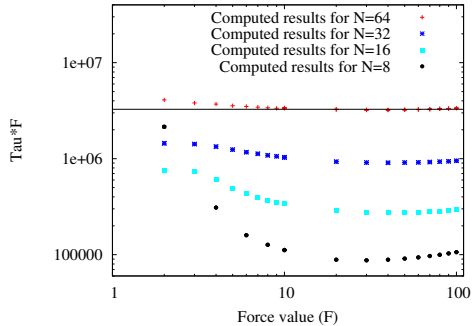
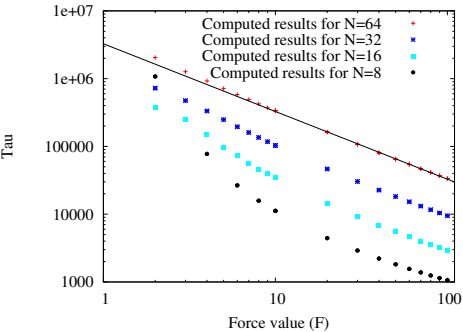


# Pore étroit



Toujours deux régimes pour les forces

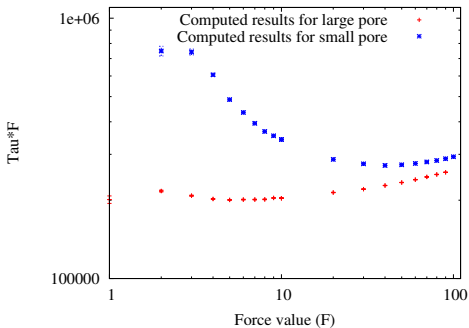
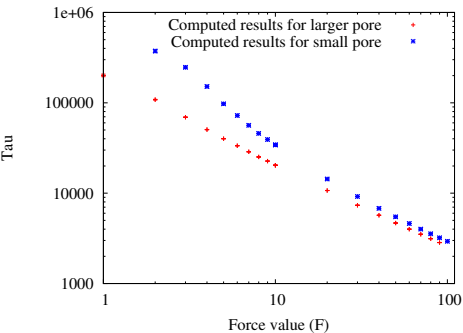
# Pore étroit



Toujours deux régimes pour les forces

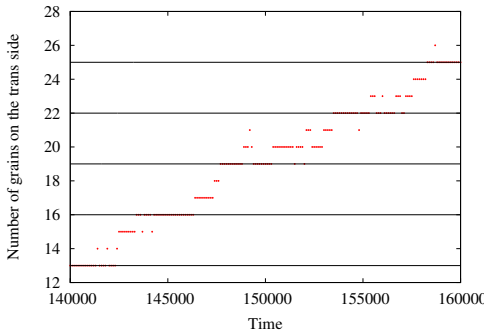
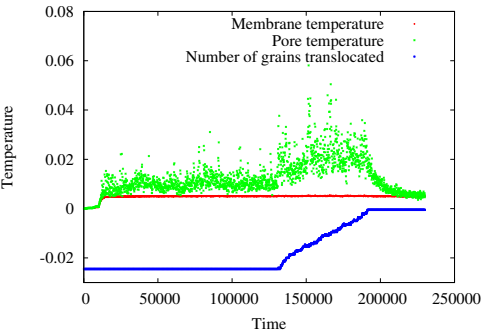
$$\tau \propto N^{1+\nu}$$

# Comparaison



Ralentissement de la translocation avec un pore étroit

# Pore vibrant



Echauffement du pore et translocation fractionnée



Utilisation d'un modèle original

Utilisation d'un modèle original

Détermination de lois d'échelle

Utilisation d'un modèle original

Détermination de lois d'échelle

Effets du frottements du pore

Utilisation d'un modèle original

Détermination de lois d'échelle

Effets du frottements du pore

Cas du pore vibrant?

Utilisation d'un modèle original

Détermination de lois d'échelle

Effets du frottements du pore

Cas du pore vibrant?

Flexibilité de l'ensemble du plan?

Merci de votre attention.

Merci de votre attention.

Des questions ?